

De la largeur des spectrogrammes d'étoiles G5

Autor(en): **Tiercy, G. / Grosrey, A.**

Objekttyp: **Article**

Zeitschrift: **Archives des sciences physiques et naturelles**

Band (Jahr): **16 (1934)**

PDF erstellt am: **21.07.2024**

Persistenter Link: <https://doi.org/10.5169/seals-741522>

Nutzungsbedingungen

Die ETH-Bibliothek ist Anbieterin der digitalisierten Zeitschriften. Sie besitzt keine Urheberrechte an den Inhalten der Zeitschriften. Die Rechte liegen in der Regel bei den Herausgebern.

Die auf der Plattform e-periodica veröffentlichten Dokumente stehen für nicht-kommerzielle Zwecke in Lehre und Forschung sowie für die private Nutzung frei zur Verfügung. Einzelne Dateien oder Ausdrucke aus diesem Angebot können zusammen mit diesen Nutzungsbedingungen und den korrekten Herkunftsbezeichnungen weitergegeben werden.

Das Veröffentlichen von Bildern in Print- und Online-Publikationen ist nur mit vorheriger Genehmigung der Rechteinhaber erlaubt. Die systematische Speicherung von Teilen des elektronischen Angebots auf anderen Servern bedarf ebenfalls des schriftlichen Einverständnisses der Rechteinhaber.

Haftungsausschluss

Alle Angaben erfolgen ohne Gewähr für Vollständigkeit oder Richtigkeit. Es wird keine Haftung übernommen für Schäden durch die Verwendung von Informationen aus diesem Online-Angebot oder durch das Fehlen von Informationen. Dies gilt auch für Inhalte Dritter, die über dieses Angebot zugänglich sind.

Ein Dienst der *ETH-Bibliothek*

ETH Zürich, Rämistrasse 101, 8092 Zürich, Schweiz, www.library.ethz.ch

G. Tiercy et A. Grosrey. — *De la largeur des spectrogrammes d'étoiles G₅.*

Cette recherche a été effectuée suivant le même plan que pour les types spectraux précédemment étudiés. On a pris neuf étoiles, dont les magnitudes respectives vont de $m = 3.18$ à $m = 6.59$. (Instrument: prisme-objectif de Schaer-Boulenger.) Les durées de poses utilisées valent respectivement $2\frac{1}{2}$ min., 5 min., 10 min., 20 min., 40 min et 80 min.

Le premier tableau ci-après donne les résultats des mesures; les largeurs des spectres sont exprimées en μ :

TABLEAU I.

m	Largeur, pour une pose de:						Courbe
	150 ^s	300 ^s	600 ^s	1200 ^s	2400 ^s	4800 ^s	
3.18	48	76	93	118	150	(207)	C ₁
3.68	41	59	77	121	149	(221)	C ₂
4.20	44	58	91	103	141	(247)	C ₃
4.52	40	46	81	127	145	(214)	C ₄
4.73	30	41	68	109	141	(180)	C ₅
5.22	25	38	49	65	87	110	C ₆
5.66	27	37	39	53	79	101	C ₇
6.09	21	30	36	49	70	91	C ₈
6.59	22	37	41	57	77	88	C ₉

Les valeurs entre parenthèses ne sont pas sûres; elles semblent trop fortes; et on les a laissées de côté pour apprécier la position approchée des asymptotes des cinq premières courbes C_i; celles-ci peuvent être représentées par la relation:

$$y = A \cdot 10^{-\frac{1}{x^\lambda}}. \quad (1)$$

Le coefficient A. — En première approximation, d'après le tableau I, on peut estimer la position des asymptotes comme suit:

TABLEAU II.

C_i	C_1	C_2	C_3	C_4	C_5	C_6	C_7	C_8	C_9
A	210	200	180	175	170	130	120	105	100

ce qui donne la figure (1), et la relation approchée:

$$A = 320 - 33m.$$

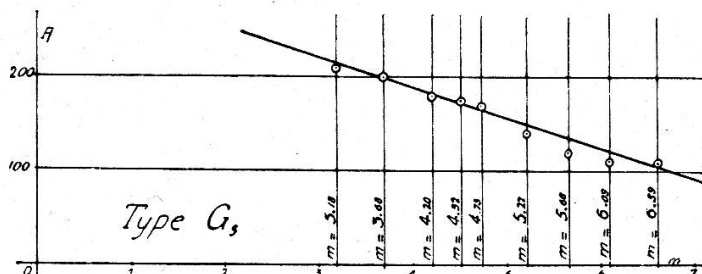


Fig. 1.

Cette égalité n'est utilisable que dans les limites des magnitudes considérées.

L'exposant λ . — Pour trouver cette fonction de m et de la durée x de pose, on a tout d'abord régularisé les courbes C_i ; on a ainsi obtenu le tableau III et la figure (2):

TABLEAU III.

Courbe	Largeur, pour une pose de:						A calculé
	150s	300s	600s	1200s	2400s	4800s	
C_1	50	76	102	132	170	198	215
C_2	42	64	88	120	155	182	209
C_3	40	58	80	108	141	165	181
C_4	36	50	76	103	130	155	171
C_5	32	46	69	95	123	148	164
C_6	26	38	53	75	104	130	148
C_7	24	33	45	62	86	110	133
C_8	21	30	40	54	75	96	119
C_9	18	25	36	49	68	86	103

En portant ces valeurs dans la formule (1), on trouve les λ correspondants, rassemblés dans le tableau IV:

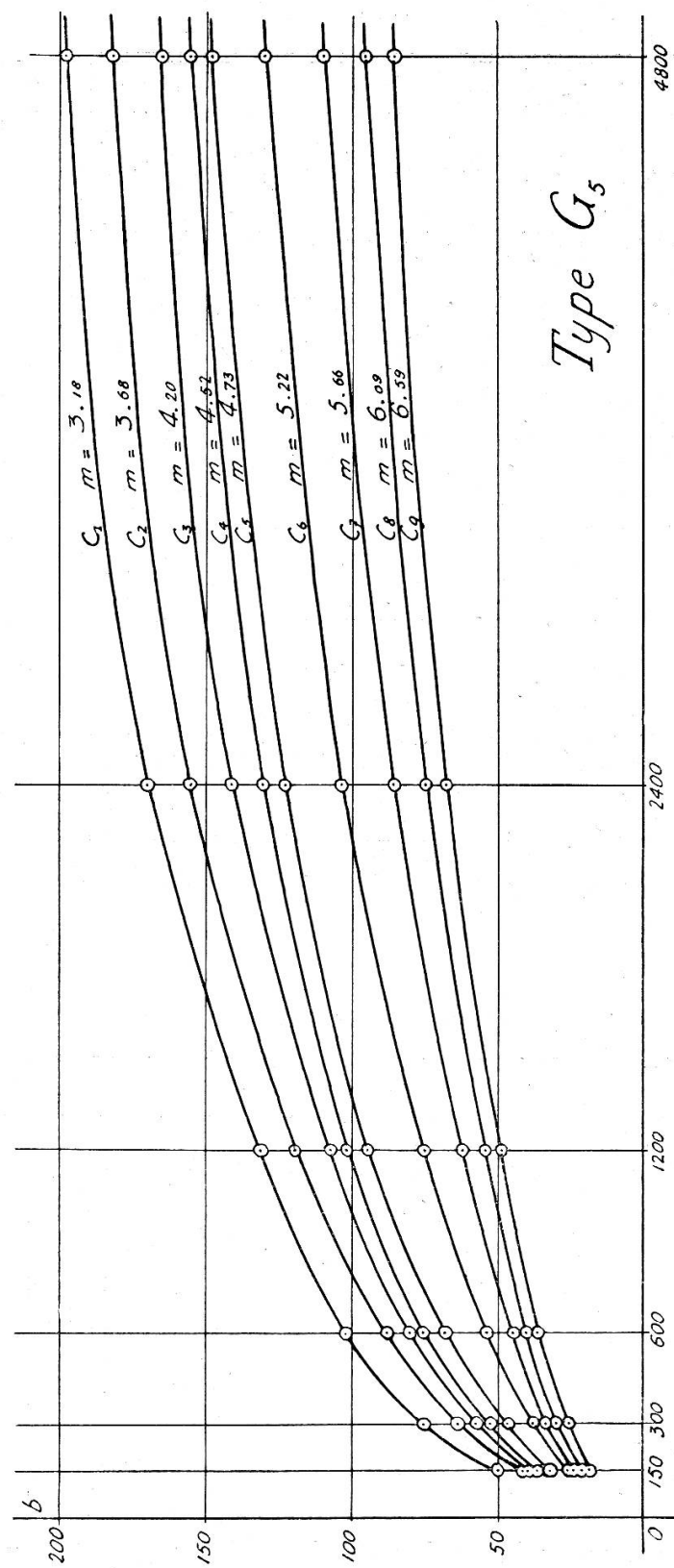


Fig. 2.

TABLEAU IV.

Courbe	m_i	λ_i	Pour une pose de :					
			150s	300s	600s	1200s	2400s	4800s
C ₁	3.18	λ_1	0.091	0.139	0.176	0.219	0.293	0.390
C ₂	3.68	λ_2	0.078	0.124	0.161	0.214	0.285	0.381
C ₃	4.20	λ_3	0.084	0.123	0.162	0.211	0.285	0.376
C ₄	4.52	λ_4	0.078	0.110	0.164	0.215	0.273	0.372
C ₅	4.73	λ_5	0.068	0.114	0.152	0.203	0.267	0.366
C ₆	5.22	λ_6	0.056	0.092	0.126	0.172	0.241	0.339
C ₇	5.66	λ_7	0.060	0.088	0.118	0.155	0.212	0.294
C ₈	6.09	λ_8	0.056	0.090	0.117	0.151	0.206	0.280
C ₉	6.59	λ_9	0.066	0.089	0.121	0.161	0.217	0.295
Gas moyen			—	—	—	—	—	—
C _M	(4.0)	λ_M	0.071	0.107	0.144	0.189	0.253	0.344

La courbe moyenne λ_M correspondrait à une étoile de magnitude 4.0 environ.

On trouve une assez bonne représentation avec:

$$\lambda_M = 0.020 [\log x]^2 .$$

En procédant comme il est dit dans la note précédente (type F₀), on obtient six groupes de neuf points chacun. Chaque groupe de neuf points fixe approximativement une droite; les six droites ont le même coefficient angulaire, égal à — 0.020.

Comme la valeur calculée de λ_M pour $x = 300$ est 0.124 (ce qui correspond à une étoile de magnitude 4.0 environ, d'après le graphique), on a finalement:

$$\lambda_{300} = 0.124 - 0.020 (m - 4.0) ;$$

$$\lambda = 0.020 [\log x]^2 - 0.020 (m - 4.0) .$$

P. Rossier. — *Généralisation de la formule de Russel pour le calcul de l'index de couleur d'une étoile.*

On calcule facilement cet index en faisant sur l'œil et la plaque photographique l'hypothèse que la sensibilité est